

05.4; 11; 12

(C) 1993

МОДЕЛЬ ОСТОВНОЙ ЭЛЕКТРОННОЙ СТРУКТУРЫ
КИСЛОРОДА В $YBa_2Cu_3O_{7-\delta}$

В.М. М и к у ш к и н, А.В. З а х а р е в и ч,
А.Ю. Ф и ш е р

В исследованиях основного состояния ВТСП одним из наиболее активно развивающихся направлений является изучение оставной электронной структуры входящих в ВТСП элементов методом рентгеновской фотоэлектронной спектроскопии (РФЭС). Энергии связи электронов оставных уровней и форма фотоэлектронных спектров уже используются для характеристизации качества приповерхностной области ВТСП в практических целях, например, при создании приборных структур. Однако до настоящего времени дискуссия об оставной электронной структуре ВТСП не закончена. Сложность вопроса обусловлена тем, что метод РФЭС – поверхностночувствительный; поверхность ВТСП, особенно 1-2-3 типов, химически активна, а традиционный способ ионной очистки оказался неприемлемым из-за деструктивного действия ионных пучков. Поэтому в начальный период исследований было обнаружено много особенностей, которые по мере совершенствования способов приготовления чистой поверхности объяснялись наличием загрязнений (см., например, [1]).

Не избежали такой ревизии и эмиссионные спектры кислорода, которые вызывают особый интерес вследствие уникальной роли этого элемента в процессе превращения диэлектрика в ВТСП. Так, из трех особенностей, обнаруженных в $O1s$ -фотоэмиссионных спектрах ($E_1=528.5$ эВ, $E_2=531$ эВ и $E_3=533$ эВ), линию „533 эВ” большинство исследователей в настоящее время связывают с загрязняющими поверхность углеродосодержащими примесями. О примесном характере линии „531 эВ” свидетельствовали эксперименты на более чистых поликристаллах, скрайбированных в вакууме [2, 3] и эксперименты по исследованию угловых распределений фотоэлектронов [4]. После появления работы [5], в которой 1-2-3-моноцикристаллы „плохого” и „хорошего” качества скальвались в вакууме, вопрос о примесном характере линии „531 эВ”, казалось бы, решался окончательно: при переходе от „плохого” монокристалла к „хорошему” интенсивность линии уменьшалась в два-три раза и не превышала ~20 % интенсивности основной линии, энергия которой в этом случае $E_1=528.0$ эВ. Более того, через несколько часов после скола интенсивность линии „531 эВ” почти удваивалась, что также свидетельствовало о ее примесном характере.

В настоящей работе на основе исследования фотоэлектронных спектров оксидов Y_2O_3 , BaO , CuO , керамики $YBa_2Cu_3O_{6.9}$

Энергия связи электрона $1s$ -уровня кислорода
(в электроновольтах)

Соединение	CuO	Y_2O_3	BaO	H_2O	CO
Э. с.	529.5	530.6	531.1	532.4	533.6

и известных сведений об элементарной ячейке делается вывод о внутренней природе линии „531 эВ”.

Измерения проводились на фотоэлектронном спектрометре „LHS - 11” фирмы „Leybold - AG”. Использовалось излучение $AlK\alpha$, $\hbar\nu = 1486.6$ эВ. Энергетическое разрешение спектрометра составляло $\Delta E = 1.0 - 1.1$ эВ. Керамические образцы „1-2-3” скрайбировались в шлюзе в атмосфере азота или аргона и вводились в аналитическую камеру в течение 2-3 минут. Было установлено, что замена аргонного кесона на азотный, а также вымораживание остаточной атмосферы шлюза при его откачке, существенно уменьшало и без того не высокое содержание углеродных образований на поверхности образца.

Поликристаллические пленки оксидов BaO и CuO выращивались на установке молекулярно-пучковой эпитаксии непосредственно перед измерениями и переносились в атмосфере азота. Исследовались также окислы, образуемые на поверхности металлического бария и разогретой меди. Для учета зарядки образцов использовались линии кислорода из слоя молекул (CO, H_2O), осаждающегося на чистой поверхности золота при экспозиции на воздухе. Определенные таким образом энергии связи (э.с.) $O1s$ приведены в таблице. Погрешности в определении э.с. не превышают 0.2 эВ. Более полная таблица и результаты исследования процессов эпитаксиального роста оксидов меди, бария, а также диспрозия приведены в работе [6].

Оксид иттрия образовывался на поверхности металлического образца. На рис. 1, а приведены фотоэлектронные спектры $Y3d$. Кривая 1 соответствует очищенной ионным пучком поверхности образца. Кривая 2 получена после значительно более глубокого ионного травления, при котором открывается область примерно на две трети состоявшая из металлического иттрия. Напускавшийся в камеру кислород окислял металл, и поверхность, как это следует из кривой 3, возвращалась в исходное состояние. Таким образом, исследования окисленной поверхности металлического иттрия позволили определить связанный с окислением химический сдвиг, а также э.с. $O1s$ в Y_2O_3 (см. таблицу). Следует отметить, что э.с. $O1s$ окислов бария и иттрия практически совпадают с положением линии „531 эВ”.

Сопоставление приведенного на рис. 1, б $Y3d$ -спектра керамики $Y_1Ba_2Cu_3O_{6.9}$ со спектрами металлического и окислен-

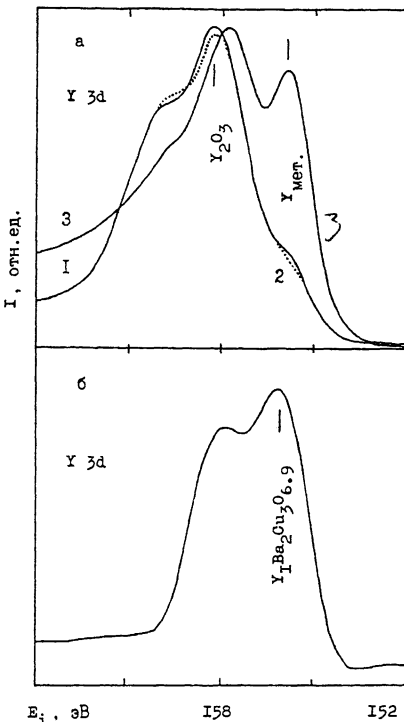
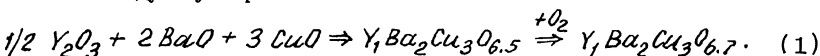


Рис. 1. Фотоэлектронные спектры Y_{3d} (а): 1 – очищенной ионным пучком поверхности окисла иттрия на металлическом образце, 2 – поверхности, обогащенной металлическим иттрием после глубокого ионного травления, 3 – поверхности того же образца после напуска кислорода; поверхности скрайбированной керамики $Y_1Ba_2Cu_3O_{6.9}$ (б).

ногого иттрия позволяет сделать вывод о том, что при синтезе ВТСП иттрий восстанавливается почти до металлического состояния. Это означает, что кислород переходит к другим металлам, очевидно, к меди, часть которой формирует CuO_2 -плоскость. Сравнение спектров BaO и 1-2-3-керамики также свидетельствует о некоторой тенденции восстановления бария.

Представим теперь изменения O_{1s} -фотоэлектронного спектра, происходящие при превращении смеси оксидов в ВТСП. Можно записать следующую реакцию.



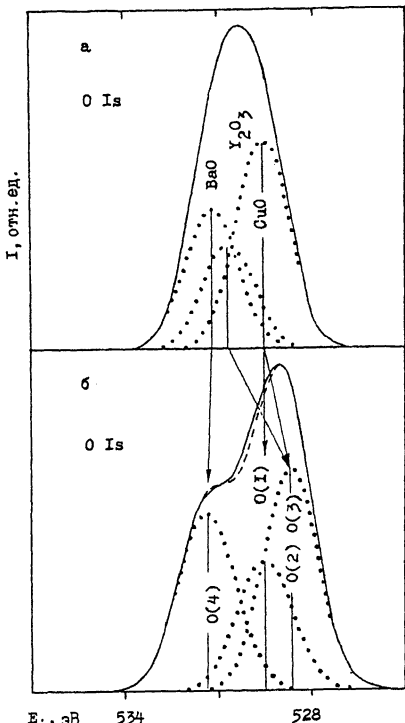


Рис. 2. Фотоэлектронные спектры O_{1s} : а - гомогенной смеси образующих ВТСП оксидов, б - ВТСП $YBaCu$: 1 - экспериментальный (сплошная кривая), 2 - модельный (пунктирная кривая).

Из (1) следует, что в процессе из атмосферы добавляется очень небольшое количество кислорода. Поэтому в грубом приближении - спектр O_{1s} -ВТСП может быть смоделирован из спектра смеси оксидов с учетом только имеющегося в них кислорода. На рис. 2, а представлен модельный спектр гомогенной смеси оксидов (левая часть (1)), построенный на основе данных таблицы. Видно, что центр тяжести суммарной линии характеризуется значительно большей энергией, чем э.с. „хорошей“ линии O_{1s} в ВТСП - „528.5 эВ“. На рис. 2, б приведено сопоставление экспериментального O_{1s} -спектра керамики (сплошная кривая 1) и модельного спектра 1-2-3 (пунктирная кривая 2), полученного на основе следующих соображений.

1. Кислород иттрия, как отмечалось выше, почти весь переходит к меди.

2. Две трети атомов меди принимают кислород иттрия и образуют „ CuO_2 -плоскости“, э.с. этого кислорода ($O(2)$ и $O(3)$) понижаются.

3. Э.с. остающегося в „ CuO -плоскостях” кислорода ($\text{O}(1)$) практически не изменяется.

4. Кислород бария превращается в $\text{O}(4)$, однако его линия неизначительно изменяет свое положение: э.с. несколько увеличивается.

В модели используется факт уменьшения э.с. кислорода при увеличении валентности металла (п. 2) (например, $\text{Cu}_2\text{O} - \text{CuO}$, $\text{BaO} - \text{BaO}_2$). Следует также отметить, что, поскольку э.с. кислорода в „ CuO_2 -плоскости” неизвестна, использовалась подгонка правого крыла модельного спектра под экспериментальный спектр.

Таким образом, из грубого модельного приближения, основанного на анализе химических сдвигов оксидов и сведениях об элементарной ячейке, следует, что линия „531 эВ” присуща ВТСП и, по-видимому, соответствует положению кислорода $\text{O}(4)$. Один из возможных каналов деградации ВТСП может быть связан не столько с незначительной потерей кислорода сколько с его переходом из „ CuO_2 -плоскости” (обратно) к иттрию. Такой переход будет сопровождаться резким увеличением интенсивности линии „531 эВ”, что возможно и наблюдалось в работе [5]. Отмеченная в этой работе для „хорошего” кристалла более низкая, чем на рис. 2, б интенсивность указанной линии может быть связана с неучитываемым в данной модели отдалением кислорода от атомов бария.

Авторы благодарят В.К. Никулина и В.В. Мамутину за полезное обсуждение результатов и В.В. Мамутину за образцы пленок оксидов.

Работа ведется в рамках проекта № 91080 Государственной программы „Высокотемпературная сверхпроводимость”.

Список литературы

- [1] Lindberg P.A.P., Shen Z.-X., Spicer W.E., Lindau I. // Surface Science Reports. V.11. 1990. P. 1-137.
- [2] Meyer H.M., Hill D.M., Wagner T.J., Gao Y., Weaver J.H., Capone W. II, Gorretta K.C. // Phys. Rev. 1988. 38B. P. 6500.
- [3] Steiner P., Hufner S., Kinsinger V., Sander I., Siegwart B., Schulz R., Junk S., Schwitzgebel G., Gold A., Politis C., Muller H.P., Hoppe R., Kemmler-Sack S., Kunz C. // Z. Phys. B. 1988. 69. p. 449.
- [4] Halbritter J., Walk P., Anderson H.-J., Kwo J., Liou S.H., Hong M., Rubenacker G.V.,

- [5] F o w l e r D.E., B r u n d l e C.R., L e r -
z a k J., H o l t z b e r g F. // J. of Electron
Spectroscopy and Related Phenomena. 1990.
52. P. 3236.
- [6] М а м у т и н В.В., М а к с и м о в М.В., З а х а р е -
в и ч А.В., К а р т е н к о Н.Ф., М и к у ш к и н В.М.,
С ы с о е в С.Е. // СФХТ. (В печати).

Физико-технический
институт им. А.Ф. Иоффе РАН,
С.-Петербург

Поступило в Редакцию
7 декабря 1992 г.